

Silizium-NPN-Epitaxial-Planar-HF-Transistor Silicon NPN Epitaxial Planar RF Transistor

Anwendungen: HF-Verstärker
in Emitterschaltung

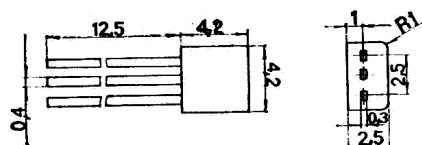
Vergleichbarer Typ: BF 241

Besondere Merkmale:

- Niedriger Rauschfaktor

Abmessungen in mm

Gehäuse L 3/12 **B**
TGL 11 811 **E**
Plastgehäuse **C**
Masse ca. 0,1 g



Dimensions in mm

Case L 3/12
TGL 11 811
Plastic case
Weight about 0.1 g

Absolute Grenzwerte

Absolut maximum ratings

Kollektor-Basis-Spannung Collector-base voltage	U_{CBO}	40	V
Kollektor-Emitter-Spannung Collector-emitter voltage	U_{CEO}	25	V
Emitter-Basis-Spannung Emitter-base voltage	U_{EBO}	4	V
Kollektorstrom Collector current	I_C	25	mA
Gesamtverlustleistung Total power dissipation $t_{amb} \leq 25^\circ\text{C}$	P_{tot}	200	mW
Sperrschichttemperatur Junction temperature	t_j	125	$^\circ\text{C}$
Umgebungstemperaturbereich Ambient temperature range	t_{amb}	-40 ... +100	$^\circ\text{C}$
Lagerungstemperaturbereich Storage temperature range	t_{stg}	-40 ... +125	$^\circ\text{C}$

**Wärmewiderstand
Thermal resistance**

	Min.	Typ.	Max.
Sperrschicht-Umgebung Junction-ambient	R_{thJA}		0,5 K/mW

Statische Kenngrößen

DC characteristics	$t_{amb} = 25^\circ\text{C} - 5\text{K}$	Min.	Typ.	Max.
Kollektor-Basis-Reststrom Collector cut-off current $U_{CB} = 40\text{V}$	I_{CBO}	< 1		500 nA
Emitter-Basis-Reststrom Emitter cut-off current $U_{EB} = 4\text{V}$	I_{EBO}	< 1		nA
Basisstrom Base current $U_{CE} = 10\text{V}, I_C = 1\text{mA}$	I_B		14	25 μA
Kollektor-Emitter-Durchbruchspannung Collector-emitter breakdown voltage $I_C = 1\text{mA}$	$U_{(BR)CEO}^{(1)}$	25	43	V
Emitter-Basis-Durchbruchspannung Emitter-base breakdown voltage $I_E = 10\mu\text{A}$	$U_{(BR)EBO}$	4	6,6	V
Basis-Emitter-Spannung Base-emitter voltage $U_{CE} = 25\text{V}, I_C = 100\mu\text{A}$ $U_{CE} = 2\text{V}, I_C = 1\text{mA}$	U_{BE}		640	mV
	U_{BE}		700	mV
Gleichstromverstärkung DC forward current transfer ratio $U_{CE} = 10\text{V}, I_C = 1\text{mA}$	h_{FE}	40	70	

Dynamische Kenngrößen

AC characteristics	$t_{amb} = 25^\circ\text{C} - 5\text{K}$	Min.	Typ.	Max.
Transitfrequenz Gain bandwidth product $U_{CE} = 10\text{V}, I_C = 1\text{mA}, f = 100\text{MHz}$	f_T		500	MHz
Rauschfaktor Noise figure $U_{CE} = 10\text{V}, I_C = 1\text{mA}, f = 200\text{MHz},$ $R_G = 300\text{Ohm}$	F		1,9	5 dB
Kollektor-Rückwirkungszeitkonstante Feedback time constant $U_{CB} = 10\text{V}, I_C = 1\text{mA}, f = 30\text{MHz}$	$t_{bb} \cdot C_{b'c}$		29	ps

Rückwirkungskapazität
Feedback capacitance

Min. Typ. Max.

$U_{CE} = 10\text{ V}, I_C = 1\text{ mA}, f = 450\text{ kHz}$	$-C_{re}$	0,45	pF
$U_{CE} = 10\text{ V}, I_C = 1\text{ mA}, f = 10,7\text{ MHz}$	$-C_{re}$	0,46	0,6 pF

y-Parameter in Emitterschaltung

y-parameters in common emitter configuration

$U_{CE} = 10\text{ V}, I_C = 1\text{ mA}$

	$f = 450\text{ kHz}$	$f = 10,7\text{ MHz}$	
g_{ie}	187	202,0	μS
C_{ie}	15,2	10,0	pF
$ y_{re} $	1,3	31,0	μS
$-\varphi_{re}$	81,0	89,1	$^\circ$
$ y_{fe} $	34,0	36,2	mS
$-\varphi_{fe}$	0,3	5,7	$^\circ$
g_{oe}	7,0	8,0	μS
C_{oe}	1,8	1,6	pF

1) Messung erfolgt impulsmäßig, $t_p/T = 0,01$, $t_p = 0,3\text{ ms}$

Pulse measurement

